

## BIOART

### Geometrie živých přírodních tvarů

Tvar objektu známe, známe-li jeho rozměr ve všech směrech.

Velikost, jako základní charakteristika živého je z geometrického hlediska nepodstatná (invariantnost k měřítku), z fyzikálního hlediska je velikost zásadní.

Objem roste s třetí mocninou velikosti, průřez kostí roste s druhou mocninou velikosti a určuje mechanickou únosnost živého.

Povrch respektuje energetické poměry. Tepelné ztráty jsou úměrné velikosti povrchu a jim odpovídá spotřeba potravy, stavebního materiálu apod.

Poměr povrch / objem ovlivňuje tvar povrchu a jeho prostorové uspořádání.

Tvar živého je i přes symetrie zpravidla nerovnomocný, atd.

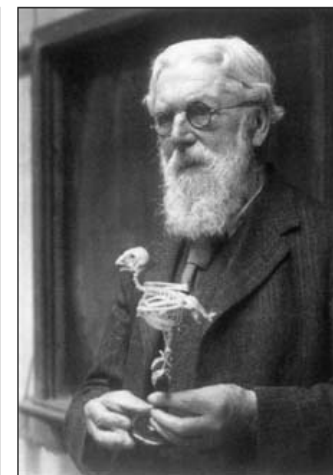
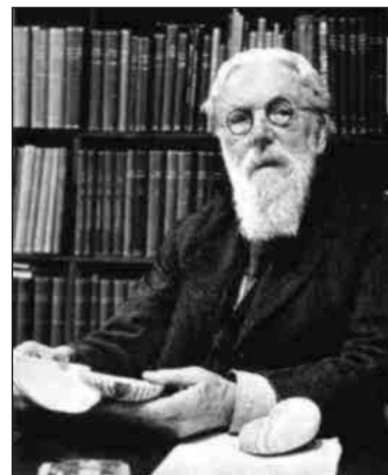
*Poznámka:* Geometrii živého objektu umíme někdy modelovat (generovat), pokud umíme matematicky zapsat zákony jeho vzniku, resp. vývoje.

**MOC TOHO NEUMÍME!!!**

1

Matematika se geometrií živého příliš nevěnovala.

Skot D'Arcy Thompson: On Growth and Form - Kniha vyšla poprvé r. 1917.



D'Arcy Thompson  
(1860 – 1948)  
je zakladatelem  
Biomatematiky.

*Poznámka:* Kniha vyšla také r.1968 v nakladatelství Cambridge University Press.

2

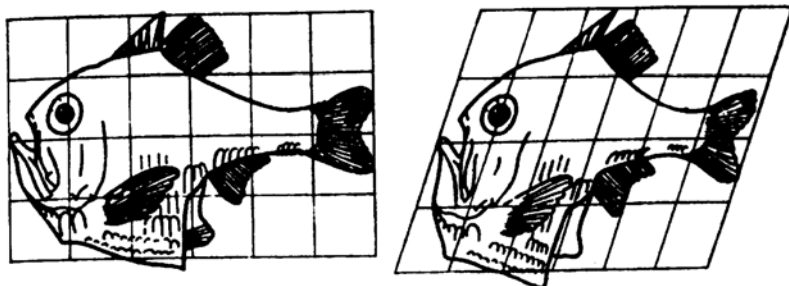
D'Arcy Thompson zjistil, že rozmanitost tvarů je možné redukovat použitím transformací v různých geometriích.

Př. Afinní geometrie:

grupa lineárních zobrazení

$$u = a_{10} + a_{11}x + a_{12}y$$

$$v = a_{20} + a_{21}x + a_{22}y$$

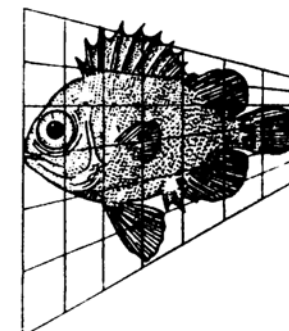
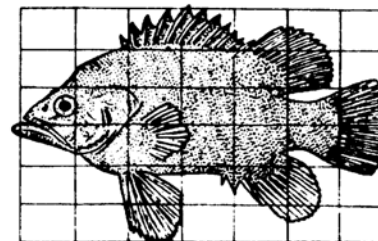


3

Projektivní geometrie:

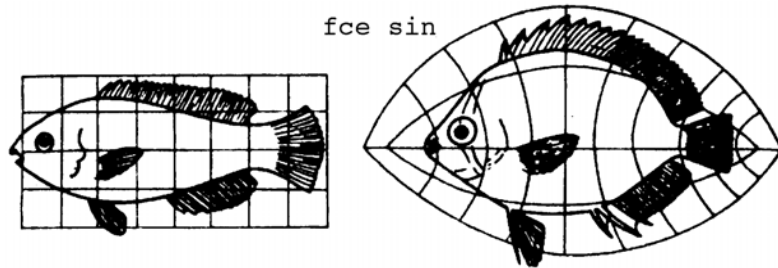
$$u = (a_{10} + a_{11}x + a_{12}y) / (a_{00} + a_{01}x + a_{02}y)$$

$$v = (a_{20} + a_{21}x + a_{22}y) / (a_{00} + a_{01}x + a_{02}y)$$



4

Transcendentní geometrie:



...  
a řada dalších geometrií.

Na počest prof. Thompsona jeho pokračovatelé na School of Mathematics and statistics University of St Andrews ve Skotsku vytvořili interakční editor:



Choose picture: **Argyrolepeucus offersi**

Show grid

$F(x, y) = (p(x, y), q(x, y))$  where **Identity map** Rate of change  $\frac{20}{4}$  Line width  $4$

$p(x, y) = \frac{0.000}{4}x^2 + \frac{0.000}{4}xy + \frac{0.000}{4}y^2 + \frac{1.000}{4}x + \frac{0.500}{4}y$  and **Clear**

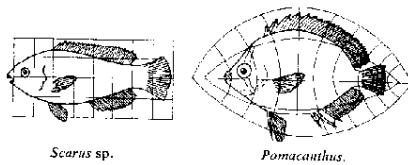
$q(x, y) = \frac{0.000}{4}x^2 + \frac{0.000}{4}xy + \frac{0.000}{4}y^2 + \frac{0.000}{4}x + \frac{1.400}{4}y$

Tvarovací funkce  $F(x,y)$  je kvadratická mapa s deseti volnými parametry.

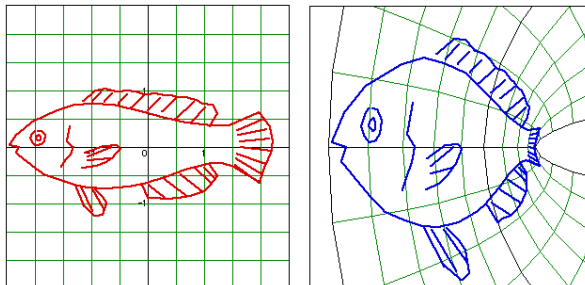
Proměnné  $p$  a  $q$  jsou polynomy 2st.

Př. Transformace

Thompson:

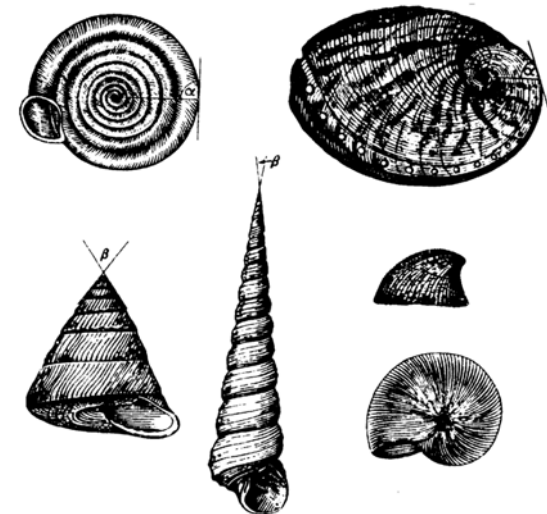


Program kvadratická mapa:



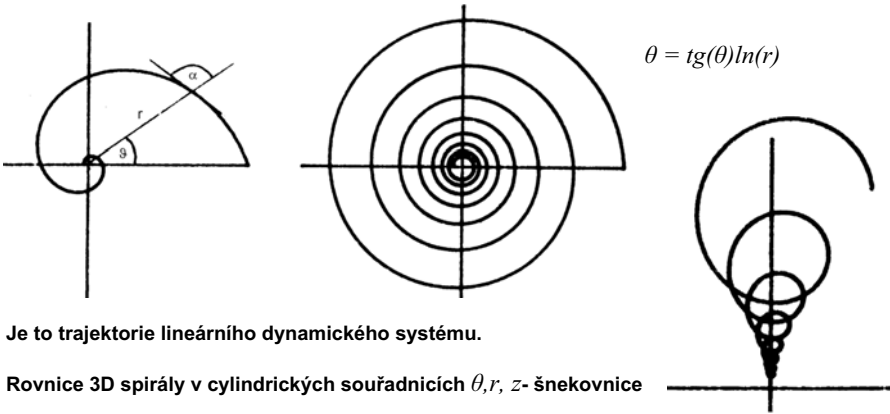
ULITY, LASTURY, KLY, ROHY apod.

Ilustrace z Thompsonovy Knihy:



Ulita je záznamem historie organismu.

Je soběpodobná a zachovává „stejný tvar“ - tuto vlastnost má logaritmická spirála a její 3D varianty.



Je to trajektorie lineárního dynamického systému.

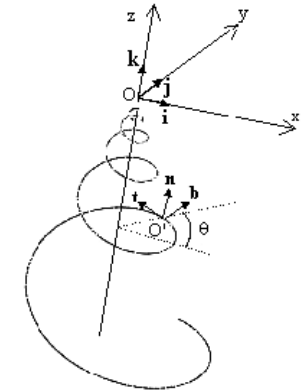
Rovnice 3D spirály v cylindrických souřadnicích  $\theta, r, z$ - šnekovnice

$$\begin{aligned} d\theta/dt &= 1 \\ dr/dt &= ra \\ dz/dt &= bz \end{aligned} \quad \begin{aligned} a &= \cotg(\alpha) \\ \alpha, b &\text{ jsou parametry} \end{aligned} \quad \begin{aligned} \theta_0, r_0, z_0 &\text{ jsou počáteční podmínky} \end{aligned}$$

G. Lucca modeluje ulity tažením řezové (generující) křivky po tvořící (strukturální) křivce

Zvolíme dva ortogonální systémy souřadnic  $x, y, z$  s počátkem  $O$  a jednotkovými vektory  $i, j, k$  a „tečný“ s jednotkovými vektory  $t, n, b$ .

$$\mathbf{t} = \frac{d\mathbf{r}_s}{d\vartheta} \quad \mathbf{b} = \frac{\mathbf{t} \times \frac{d^2\mathbf{r}_s}{d\vartheta^2}}{\left| \mathbf{t} \times \frac{d^2\mathbf{r}_s}{d\vartheta^2} \right|} \quad \mathbf{n} = \mathbf{b} \times \mathbf{t}$$



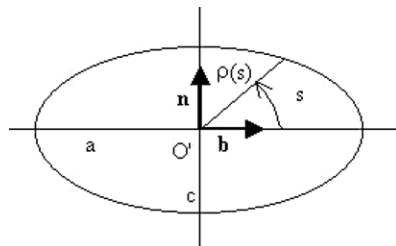
Obě křivky zapíšeme v parametrickém tvaru.

Strukturální křivku tvoří logaritmická spirála v parametrické formě s parametrem  $\theta$  (azimut),  $r_s$  je průvodič.

$$\mathbf{r}_s = \mathbf{r}_s(\vartheta) = \begin{cases} x_s = x_s(\vartheta) \\ y_s = y_s(\vartheta) \\ z_s = z_s(\vartheta) \end{cases}$$

Generující křivkou je oblouk elipsy s parametrem  $s$  a průvodičem  $\rho$  a poloosami  $a$  a  $c$ .

$$\begin{cases} x'_s = \rho(s) \cos(s) \\ y'_s = 0 \\ z'_s = \rho(s) \sin(s) \end{cases}$$



$$\rho(s) = \frac{1}{\sqrt{\frac{\cos^2(s)}{a^2} + \frac{\sin^2(s)}{c^2}}}$$

kde

Přetransformujeme vektory  $b$  do  $i, t$  do  $j$  a  $n$  do  $k$ .

$$\begin{cases} x_\xi(s, \vartheta) = \rho(s)(b_x(\vartheta) \cos(s) + n_x(\vartheta) \sin(s)) \\ y_\xi(s, \vartheta) = \rho(s)(b_y(\vartheta) \cos(s) + n_y(\vartheta) \sin(s)) \\ z_\xi(s, \vartheta) = \rho(s)(b_z(\vartheta) \cos(s) + n_z(\vartheta) \sin(s)) \end{cases}$$

Body na povrchu ulity pak budou funkcí obou parametrů:

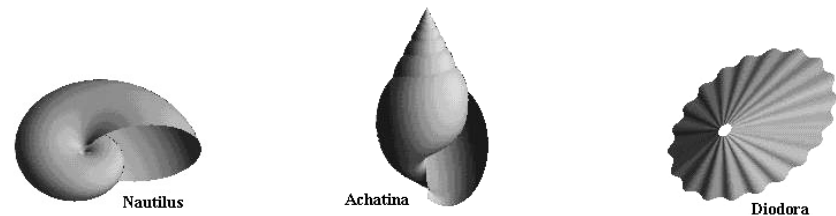
$$\begin{cases} X(s, \vartheta) = e^{w\vartheta} x_\xi(s, \vartheta) + x_s(\vartheta) \\ Y(s, \vartheta) = e^{w\vartheta} y_\xi(s, \vartheta) + y_s(\vartheta) \\ Z(s, \vartheta) = e^{w\vartheta} z_\xi(s, \vartheta) + z_s(\vartheta) \end{cases}$$

Nerovnosti povrchu (vruby apod.) vytvoříme perturbací průvodiče elipsy.

$\psi$  bude jednoduchá zvolená funkce.

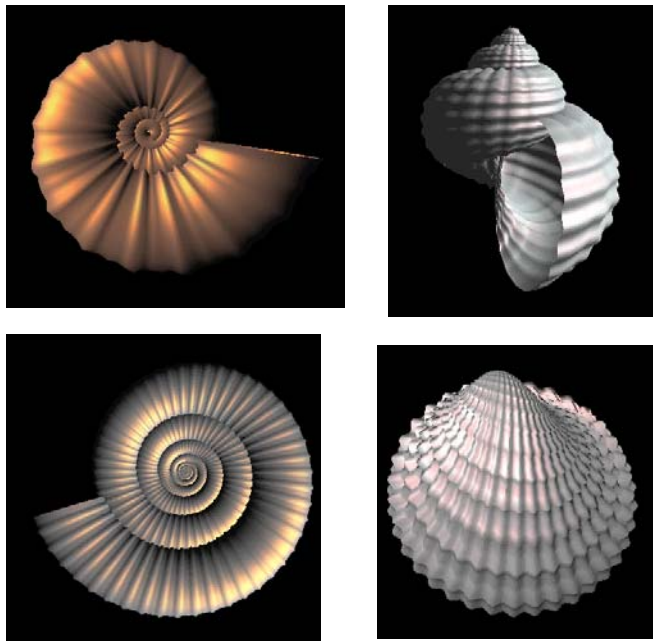
Výsledek: Příklad 1

$$\rho(s) = \frac{1}{\sqrt{\frac{\cos^2(s)}{a^2} + \frac{\sin^2(s)}{c^2}}} + \psi(s, \vartheta)$$



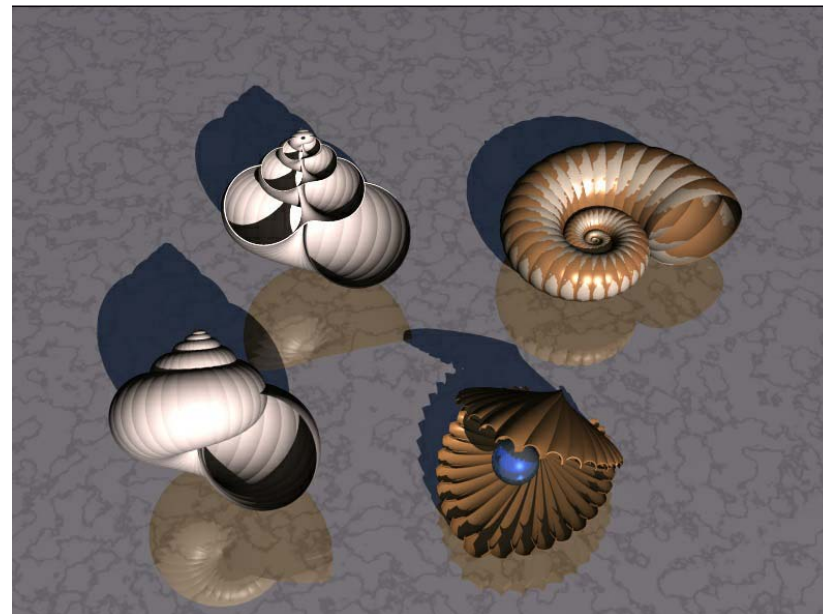
Př.2

OYVINDHA:



13

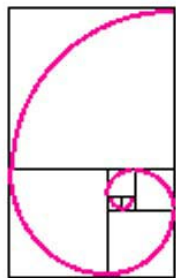
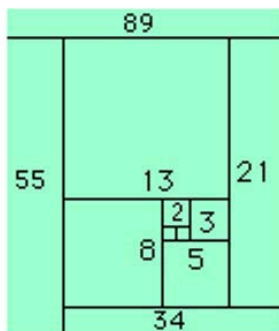
Př. 3



14

Logaritmickou spirálu můžeme konstruovat i pomocí Fibonacciho řady, aplikované na sekvenci příkládaných čtverců.

Př. Podle R. Knotta:



15

Fylotaxie (rozmístění šupin na šiškách, kůře palm apod.)

Útvary jsou rozmístěny na tzv. genetické spirále.

Souřadnice n-tého útvaru jsou

$$\Phi_n = n\alpha, z_n = nc, r_n = konst.$$

Rozvineme-li válcovou plochu do roviny,

jsou nové souřadnice n-tého útvaru

$$x_n = n\beta - [n\beta], z_n = nc, \beta = \alpha / 2\pi$$

Dostaneme systémy spirál.

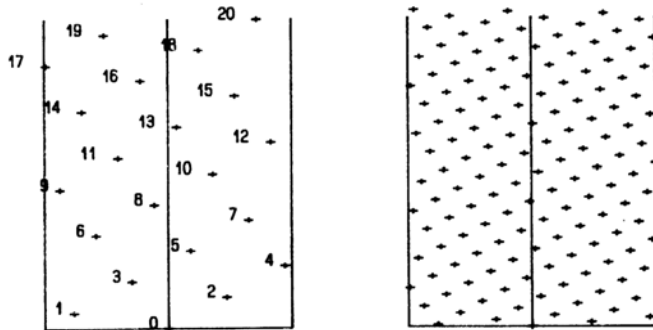
Závorky značí přiřazení nejbližšího celého čísla, takže  $-1/2 < x_n < 1/2$ .



16

### Systémy spirál:

- 0, 2, 4, 6, 8, 10, 12, ...
- 1, 3, 5, 7, 9, 11, 13, ...
- 0, 3, 6, 9, 12, 15, 18, ...
- 1, 4, 7, 10, 13, 16, 19, ...
- 2, 5, 8, 11, 14, 17, 20, ...

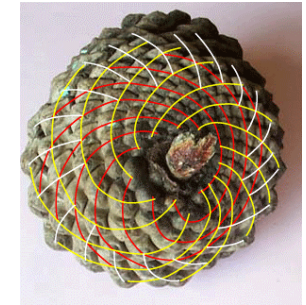


Nejzřetelnější jsou dva systémy spirál v opačných směrech, které jsou v 95% po sobě jdoucí členy Fibonacciho posloupnosti:

$$1, 1, 2, 3, 5, 8, 13, 21, 34, 55, 89, \dots$$

Úhel  $\alpha$  je tzv. **zlatý úhel**, který dostaneme rozdělením plného úhlu v poměru zlatého řezu. Zlatý úhel  $\alpha = 222,5^\circ$  a jeho doplněk  $\beta = 137,5^\circ$ .

### Př. 1. Šišky borovice (Suzan Goldstine):



$$1, 2, 3, 5, 8, 13, 21, 34, 55, 89, 144, \dots$$

Stejně je možné najít Fibonacciho řadu ve spirálách semeníků některých rostlin.

### Kvítky slunečnice

H. Vogel v roce 1979 sestavil model slunečnice, založený na cyklotronové spirále.

$$r(\Phi) = c\sqrt{\Phi}$$

polární souřadnice n-tého kvítku jsou

$$r_n = c\sqrt{n}, \quad \phi_n = n\alpha$$

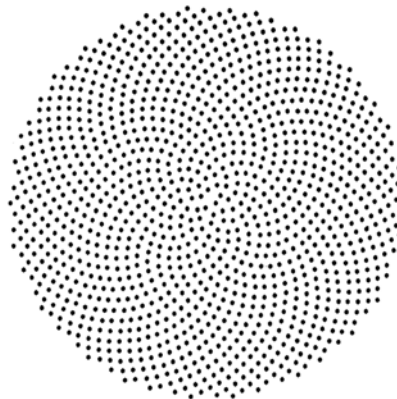
Plošná hustota je nezávislá na poloměru R.

Základní spirálu nevidíme, vidíme však systém  $F_n$  parametrických spirál.

$$\Phi = 2\pi\beta(tF_n + k) - 2\pi tF_{n-1}, \quad r = c\sqrt{(tF_n + k)}$$

$k = 0, 1, 2, \dots, F_{n-1}$  je číslo spirály

$$t > -k/F_n$$

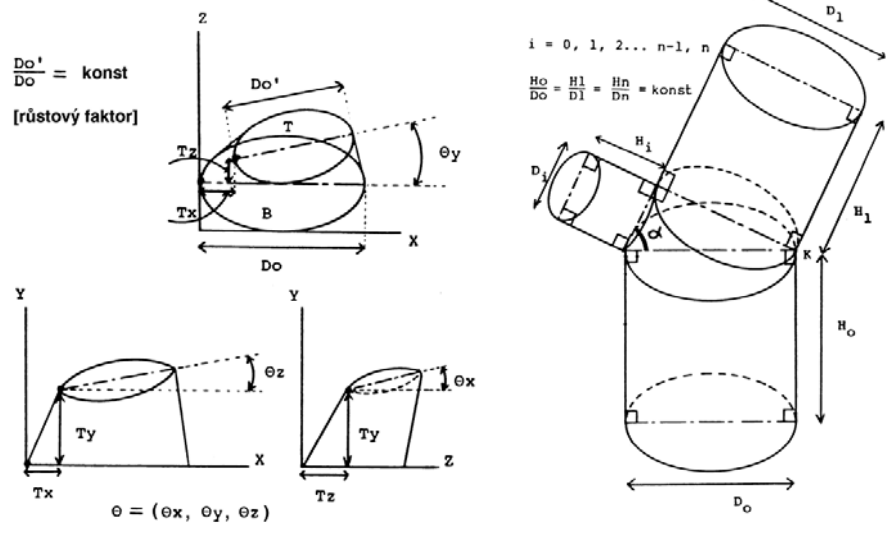


*Poznámka:* Vzpomeňte na model slunečnice jako L-system.

### Př. Prezentace matematického studia filotaxie



Přírůstky a úponky větvících se živých objektů mají také své zákonitosti:

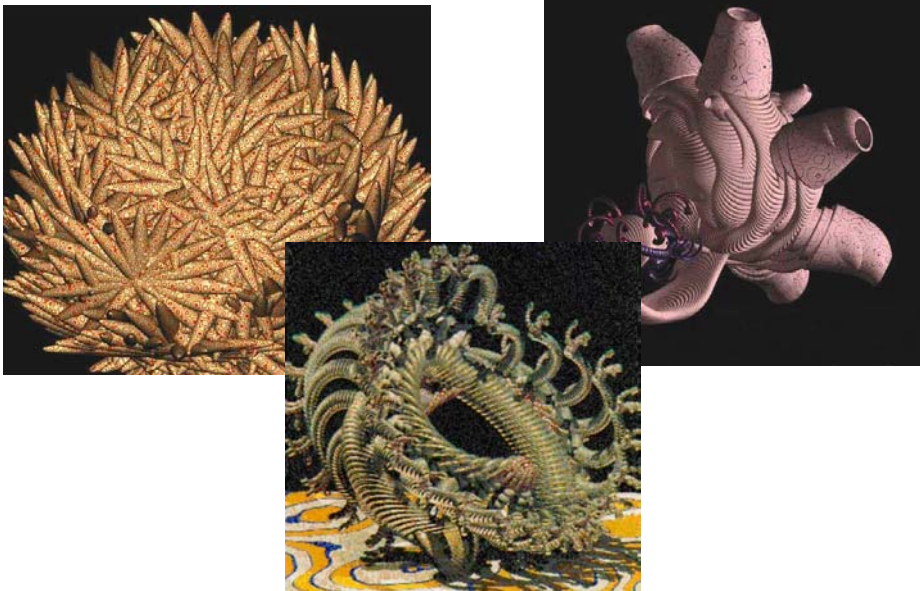


Někdy při tvorbě tvarů a textur stačí inspirace základními charakteristikami živého.

Př. 1



Př. 2 (Organic Art)



Př. 3 (Kreace Bernta Lintermanna)

